

# Геометрические структуры на решениях системы уравнений адиабатического движения газа

В. А. Юмагужин

Учреждение Российской академии наук  
Институт программных систем имени А.К. Айламазяна РАН,  
г. Переславль-Залесский

- ① Уравнения адиабатического движения газа в  $\mathbb{R}^n$ ,  $n = 1, 2, 3$ 
  - Характеристические ковекторы
  - Геометрические структуры на решениях
  - Расслоение 3-тканей,  $n = 1$
  - Расслоение плоскостей и конусов,  $n = 2$
  - Расслоение плоскостей и конусов,  $n = 3$
  
- ② Дифференциальные инварианты естественных расслоений
  - Формальные симметрии и алгебры изотропии
  - Дифференциальные инварианты
  
- ③ Явные решения
  - 1-мерная газовая динамика
  - 2-мерная газовая динамика
  - 3-мерная газовая динамика
  
- ④ Литература

- ① Уравнения адиабатического движения газа в  $\mathbb{R}^n$ ,  $n = 1, 2, 3$ 
  - Характеристические ковекторы
  - Геометрические структуры на решениях
  - Расслоение 3-тканей,  $n = 1$
  - Расслоение плоскостей и конусов,  $n = 2$
  - Расслоение плоскостей и конусов,  $n = 3$
- ② Дифференциальные инварианты естественных расслоений
  - Формальные симметрии и алгебры изотропии
  - Дифференциальные инварианты
- ③ Явные решения
  - 1-мерная газовая динамика
  - 2-мерная газовая динамика
  - 3-мерная газовая динамика
- ④ Литература

# 1. Уравнения адиабатического движения газа в $\mathbb{R}^n$ , $n = 1, 2, 3$

$$\begin{aligned}v_t^i + v^1 v_{x^1}^i + \dots + v^n v_{x^n}^i + p_{x^i} / \rho &= 0, \quad i = 1, \dots, n, \\ \rho_t + v^1 \rho_{x^1} + \dots + v^n \rho_{x^n} + \rho(v_{x^1}^1 + \dots + v_{x^n}^n) &= 0, \\ p_t + v^1 p_{x^1} + \dots + v^n p_{x^n} + A(\rho, p)(v_{x^1}^1 + \dots + v_{x^n}^n) &= 0,\end{aligned}\tag{1}$$

$(v^1, \dots, v^n)$  – вектор скорости газа,  $\rho$  – его плотность,  $p$  – давление и  $A(\rho, p) = -\rho(\partial S / \partial \rho) / (\partial S / \partial p)$ , где  $S(\rho, p)$  – энтропия. Вид системы для  $n=1, 2, 3$

$$\begin{aligned}\pi : \mathbb{R}^{n+1} \times \mathbb{R}^{n+2} &\longrightarrow \mathbb{R}^{n+1}, \\ \pi : (t, x^1, \dots, x^n, v^1, \dots, v^n, \rho, p) &\mapsto (t, x^1, \dots, x^n) = m.\end{aligned}$$

$$\pi_k : J^k \pi \longrightarrow \mathbb{R}^{n+1}, \quad \pi_k : j_m^k S \mapsto m$$

– расслоение  $k$ -джетов сечений расслоения  $\pi$ .

Геометрически система (1) – подмногообразие  $\mathcal{E}$  в  $J^1 \pi$

## 2. Характеристические ковекторы

$\theta_1 \in \mathcal{E}$ ,  $m = \pi_1(\theta_1)$ ,  $\xi = \xi_0 dt + \xi_1 dx^1 + \dots + \xi_n dx^n \in T_m^*$  и  $\xi \neq 0$ .

$\xi$  – характеристический ковектор для  $\theta_1$ , если:

$$\det \left( \frac{\partial F^i}{\partial w_t^j} \xi_0 + \frac{\partial F^i}{\partial w_{x^1}^j} \xi_1 + \dots + \frac{\partial F^i}{\partial w_{x^n}^j} \xi_n \right) (\theta_1) = 0,$$

где  $F^i$ ,  $i = 1, \dots, n+2$ , – левые части уравнений системы (1),  $w^j = v^j$ ,  $j = 1, \dots, n$ ,  $w^{n+1} = \rho$  и  $w^{n+2} = p$ .

Вычисляя этот определитель, получим:

$$n = 1, \quad (\xi_0 + v^1 \xi_1) (\xi_0 + v^1 \xi_1 + \sqrt{A(\rho, p)/\rho} \xi_1) \times \\ (\xi_0 + v^1 \xi_1 - \sqrt{A(\rho, p)/\rho} \xi_1) = 0,$$

$$n = 2, 3, \quad (\xi_0 + v^1 \xi_1 + \dots + v^n \xi_n)^3 \times \\ \times ((\xi_0 + v^1 \xi_1 + \dots + v^n \xi_n)^2 - \frac{A(\rho, p)}{\rho} (\xi_1^2 + \dots + \xi_n^2)) = 0.$$

### 3. Характеристические ковекторы

Характеристические ковекторы порождают в  $T_m^*$ :

при  $n = 1$ , три попарно трансверсальных 1-мерных подпространства, определяемые соответственно уравнениями

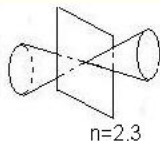
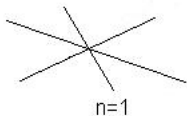
$$\xi_0 + v^1 \xi_1 = 0,$$

$$\xi_0 + (v^1 - \sqrt{A(\rho, p)/\rho}) \xi_1 = 0, \quad \xi_0 + (v^1 + \sqrt{A(\rho, p)/\rho}) \xi_1 = 0;$$

при  $n = 2, 3$ ,  $n$ -мерные плоскость и конус, пересекающиеся только в нуле и определяемые соответственно уравнениями

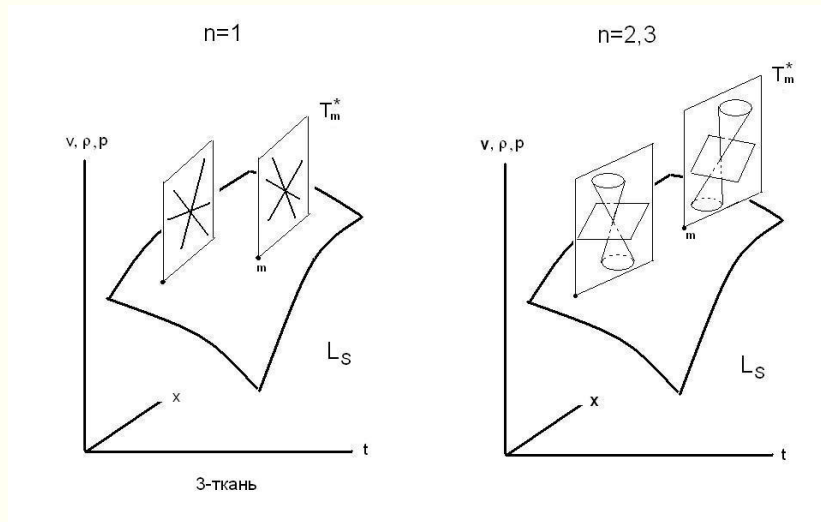
$$\xi_0 + v^1 \xi_1 + \dots + v^n \xi_n = 0,$$

$$(\xi_0 + v^1 \xi_1 + \dots + v^n \xi_n)^2 - \frac{A(\rho, p)}{\rho} (\xi_1^2 + \dots + \xi_n^2) = 0$$



#### 4. Геометрические структуры на решениях

$S = (v^1, \dots, v^n, \rho, p)$  – решение системы (1),  $L_S$  – его график.  
Характеристические ковекторы системы (1) определяют на  $L_S$  геометрическую структуру.



## 5. Расслоение 3-тканей, $n = 1$

Пусть  $\Psi$  – 3-ткань на  $\mathbb{R}^2$ , т. е.

$$\begin{aligned}\Psi : m &\longmapsto \{\ell_m^1, \ell_m^2, \ell_m^3\}, \quad \ell_m^i \in T_m^* \quad \forall m \in \mathbb{R}^2, \\ \ell_{\theta_1}^i \cap \ell_{\theta_1}^j &= \{0\}, \quad i \neq j.\end{aligned}\tag{2}$$

$\ell_m^i$  определяются соответственно уравнениями

$$\Psi_i^1(m)\xi_1 + \Psi_i^2(m)\xi_2 = 0, \quad i = 1, 2, 3,$$

определенными с точностью до умножения на ненулевые функции, где  $\xi_1, \xi_2$  – координаты в  $T_m^*$ .

Структура  $\Psi$  отождествляется с сечением

$$\Psi : m \longmapsto (m, [\Psi_1^1(m) : \Psi_1^2(m)], [\Psi_2^1(m) : \Psi_2^2(m)], [\Psi_3^1(m) : \Psi_3^2(m)])$$

тривиального расслоения

$$\begin{aligned}\tau : \mathbb{R}^2 \times (\mathbb{R}\mathbb{P}^1 \times \mathbb{R}\mathbb{P}^1 \times \mathbb{R}\mathbb{P}^1) &\longrightarrow \mathbb{R}^2, \\ \tau : (m, [q_1^1 : q_1^2], [q_2^1 : q_2^2], [q_3^1 : q_3^2]) &\mapsto m,\end{aligned}$$

где  $\mathbb{R}\mathbb{P}^1$  – 1-мерное проективное пространство.



## 6. Расслоение 3-тканей, $n = 1$

Расслоение  $\tau$  естественное.

Условие (2) означает

$$\det \begin{pmatrix} \Psi_i^1(m) & \Psi_i^2(m) \\ \Psi_j^1(m) & \Psi_j^2(m) \end{pmatrix} \neq 0, \quad 1 \leq i < j \leq 3, \quad \forall p.$$

Оно определяет открытое подмножество  $E$  тотального пространства расслоения  $\tau$  инвариантное относительно диффеоморфизмов, поднятых с базы.

$$\mu = \tau|_E : E \longrightarrow \mathbb{R}^2$$

– естественное расслоение 3-тканей над  $\mathbb{R}^2$ .

Пусть  $S = (v, \rho, p)$  – решение системы (1). Тогда 3-ткань на решении  $L_S^{(0)}$  – сечение

$$\Psi_S : m \mapsto \left( m, v(m), v(m) - \sqrt{A(\rho(m), p(m)) / \rho(m)}, \right. \\ \left. v(m) + \sqrt{A(\rho(m), p(m)) / \rho(m)} \right)$$

расслоения  $\mu$ .

## 7. Расслоение плоскостей и конусов, $n = 2$

Пусть  $\Psi$  – геометрическая структура на  $\mathbb{R}^3$ , состоящая из плоскости  $P_m$  и конуса  $C_m$  в кокасательном пространстве  $T_m^*$  к  $\mathbb{R}^3$  в каждой точке  $m \in \mathbb{R}^3$  так, что

$$P_m \cap C_m = \{0\}, \forall m \in \mathbb{R}^3. \quad (3)$$

Эти поля плоскостей и конусов можно определить соответственно уравнениями

$$\Psi^i(m)\xi_i = 0, \quad \Psi^{ij}(m)\xi_i\xi_j = 0. \quad (4)$$

Тогда условие (3) означает, что

$$\Psi^{ij}(m)\xi_i\xi_j \neq 0 \quad \forall \xi \in P_m \text{ и } \xi \neq 0. \quad (5)$$

Уравнения (4) определены с точностью до умножения на ненулевые функции. Следовательно  $\Psi$  отождествляется с сечением

$$\Psi : m \longmapsto ([\Psi^1(m) : \Psi^2(m) : \Psi^3(m)], \\ [\Psi^{11}(m) : 2\Psi^{12}(m) : 2\Psi^{13}(m) : \Psi^{22}(m) : 2\Psi^{23}(m) : \Psi^{33}(m)])$$

## 8. Расслоение плоскостей и конусов, $n = 2$

тривиального естественного расслоения

$$\begin{aligned}\tau : \mathbb{R}^3 \times (\mathbb{R}P^2 \times \mathbb{R}P^5) &\longrightarrow \mathbb{R}^3, \\ \tau : (m, [q^1 : q^2 : q^3], [r^{11} : r^{12} : r^{13} : r^{22} : r^{23} : r^{33}]) &\mapsto m,\end{aligned}$$

где  $\mathbb{R}P^i$  –  $i$ -мерное проективное пространство.

Условие (5) определяет открытое подмножество  $E$  тотального пространства расслоения  $\tau$ , инвариантное относительно поднятых диффеоморфизмов.

$$\mu = \tau|_E : E \longrightarrow \mathbb{R}^3$$

– естественное расслоение геометрических структур типа  $\Psi$ .

Пусть  $S = (v^1, v^2, \rho, p)$  – решение системы (1) и  $\Psi_S$  – ее геометрическая структура, т.е. сечение

$$\begin{aligned}\Psi_S : m \mapsto &\left( m, v^1(m), v^2(m), v^1(m), v^2(m) \right. \\ &\left. (v^1(m))^2 - \frac{A(\rho(m), p(m))}{\rho(m)}, v^1(m)v^2(m), (v^2(m))^2 - \frac{A(\rho(m), p(m))}{\rho(m)} \right).\end{aligned}$$

## 9. Расслоение плоскостей и конусов, $n = 3$

Пусть  $S = (v^1, v^2, v^3, \rho, p)$  – решение системы (1) и  $\Psi_S$  – ее геометрическая структура плоскостей и конусов. Точно так, как при  $n = 2$ , эта структура отождествляется с сечением

$$\begin{aligned} \Psi_S : m \longmapsto & \left( m, v^1(m), v^2(m), v^3(m), v^1(m), v^2(m), v^3(m), \right. \\ & (v^1(m))^2 - \frac{A(\rho(m), p(m))}{\rho(m)}, v^1(m)v^2(m), v^1(m)v^3(m), \\ & (v^2(m))^2 - \frac{A(\rho(m), p(m))}{\rho(m)}, v^2(m)v^3(m) \\ & \left. (v^3(m))^2 - \frac{A(\rho(m), p(m))}{\rho(m)} \right) \end{aligned}$$

естественного подрасслоения расслоения

$$\begin{aligned} \tau : \mathbb{R}^4 \times (\mathbb{R}P^3 \times \mathbb{R}P^9) & \longrightarrow \mathbb{R}^4, \\ \tau : ( m, [q^1 : \dots : q^4], \\ [r^{11} : r^{12} : r^{13} : r^{14} : r^{22} : r^{23} : r^{24} : r^{33} : r^{34} : r^{44}] ) & \longmapsto m. \end{aligned}$$

- ① Уравнения адиабатического движения газа в  $\mathbb{R}^n$ ,  $n = 1, 2, 3$ 
  - Характеристические ковекторы
  - Геометрические структуры на решениях
  - Расслоение 3-тканей,  $n = 1$
  - Расслоение плоскостей и конусов,  $n = 2$
  - Расслоение плоскостей и конусов,  $n = 3$
  
- ② Дифференциальные инварианты естественных расслоений
  - Формальные симметрии и алгебры изотропии
  - Дифференциальные инварианты
  
- ③ Явные решения
  - 1-мерная газовая динамика
  - 2-мерная газовая динамика
  - 3-мерная газовая динамика
  
- ④ Литература

## 10. Формальные симметрии и алгебры изотропии, $k = 1$

$$\pi : E \longrightarrow M$$

– естественное расслоение дифференциального порядка 1;

$$\pi_1 : J^1\pi \longrightarrow M, \quad \pi_1 : j_m^k S \mapsto m$$

– расслоение 1-джетов его сечений  $S$ ;

$$j_1 S : M \longrightarrow J^1\pi, \quad j_1 S : m \mapsto j_m^1 S$$

– сечение расслоения  $\pi_1$ , порожденное  $S$ .

$$\pi_{1,0} : J^1\pi \longrightarrow E, \quad \pi_{1,0} : j_m^1 S \mapsto S(m).$$

Всякий  $\theta_1 = j_m^1 S \in J^1\pi$  отождествляется с касательным пространством  $\mathcal{K}_{\theta_1}$  к образу сечения  $j_1 S$  в точке  $S(m)$ .

$X$  – векторное поле на  $M$ ,  $X^{(0)}$  – его поднятие в  $E$ .

Значение  $X_{\theta_0}^{(0)}$  поля  $X^{(0)}$  в точке  $\theta_0 \in E$  определяется

1-джетом  $j_m^1 X$ , где  $m = \pi(\theta_0)$ .

## 11. Формальные симметрии и алгебры изотропии

Пусть  $\theta_1 \in J^1\pi$ ,  $\theta_0 = \pi_{1,0}(\theta_1)$ ,  $m = \pi(\theta_0)$  и  $X$  – произвольное векторное поле в окрестности точки  $m$ . Тогда

$$\mathcal{A}_{\theta_1} = \{j_m^1 X \mid X_{\theta_0}^{(0)} \in \mathcal{K}_{\theta_1}\}$$

– пространство формальных симметрий джета  $\theta_1$ ,

$$\mathfrak{g}_{\theta_0} = \{j_m^1 X \mid X_{\theta_0}^{(0)} = 0\}$$

– алгебра изотропии точки  $\theta_0$ . Ясно, что

$$\mathfrak{g}_{\theta_0} \subset \mathcal{A}_{\theta_1}.$$

Подпространство  $H \subset \mathcal{A}_{\theta_1}$  называется горизонтальным, если проекция

$$\rho_{1,0}|_H : H \rightarrow T_m M, \quad \rho_{1,0} : j_m^1 X \mapsto X_m,$$

– изоморфизм.

$$\mathcal{A}_{\theta_1} = H \oplus \mathfrak{g}_{\theta_0}.$$

## 12. Дифференциальные инварианты

Значение скобки  $[X, Y]_m$  зависит от 1-джетов  $j_m^1 X$  и  $j_m^1 Y$ .  
Поэтому можно ввести операцию

$$[j_m^1 X, j_m^1 Y] = [X, Y]_m.$$

Ограничение ее на  $\mathcal{A}_{\theta_1} \times \mathcal{A}_{\theta_1}$  дает

$$[\cdot, \cdot] : \mathcal{A}_{\theta_1} \times \mathcal{A}_{\theta_1} \rightarrow T_m M.$$

Горизонтальное подпространство  $H \subset \mathcal{A}_{\theta_1}$  определяет внешнюю 2-форму на  $T_m M$  со значениями в  $T_m M$

$$\omega_H^0 \in T_m M \otimes (T_m^* M \wedge T_m^* M)$$

по формуле

$$\begin{aligned} \omega_H^0(X_m, Y_m) &= [(\rho_{1,0}|_H)^{-1}(X_m), (\rho_{1,0}|_H)^{-1}(Y_m)] \\ &\quad \forall X_m, Y_m \in T_m M. \end{aligned}$$



### 13. Дифференциальные инварианты

$$\mathfrak{g}_{\theta_0} \subset T_m M \otimes T_m^* M.$$

Комплекс Спенсера

$$0 \rightarrow (g_{\theta_0})^{(1)} \hookrightarrow g_{\theta_0} \otimes T_m^* M \xrightarrow{\partial_{1,1}} T_m M \otimes (T_m^* M \wedge T_m^* M) \rightarrow 0, \quad (6)$$

$$(g_{\theta_k})^{(1)} = (g_{\theta_k} \otimes T_m^* M) \cap (T_m M \otimes (T_m^* M \odot T_m^* M)),$$

$$\partial_{1,1}(h)(X_m, Y_m) = h(X_m)(Y_m) - h(Y_m)(X_m), \quad \forall X_m, Y_m \in T_m M.$$

**Теорема.** Класс когомологий

$$\omega_{\theta_1}^0 = \omega_H^0 + \partial_{1,1}(\mathfrak{g}_{\theta_0} \otimes T_m^* M)$$

не зависит от выбора горизонтального подпространства  $H \subset \mathcal{A}_{\theta_1}$ .

## 14. Дифференциальные инварианты

Функция на  $J^1\pi$  со значениями в когомологиях Спенсера

$$\omega^1 : \theta_k \longmapsto \omega_{\theta_1}^0$$

– дифференциальный инвариант порядка 1 расслоения  $\pi$ .

Пусть  $S$  – сечение расслоения  $\pi$ , т.е.  $S$  – геометрическая структура на  $M$ , и  $L_S^{(1)}$  – образ сечения  $j_1S$ . Тогда

$$\omega_S^1 = \omega^1|_{L_S^{(1)}}$$

– дифференциальный инвариант порядка 1 структуры  $S$ .

Если  $\theta_0 \longmapsto C_{\theta_0}$  – инвариантное поле таких подпространств  $C_{\theta_0} \subset T_m M \otimes (T_m^* M \wedge T_m^* M)$ , что

$$T_m M \otimes (T_m^* M \wedge T_m^* M) = C_{\theta_0} \oplus \partial_{1,1}(g_{\theta_0} \otimes T_m^* M),$$

то  $\omega^1$  и  $\omega_S^1$  – тензорные дифференциальные инварианты.

## 15. Дифференциальные инварианты

**Теорема.** Пусть  $S$  – сечение расслоения  $\pi$  и пусть выполнены условия:

- 1  $\theta_0 \mapsto C_{\theta_0}$  – инвариантное поле таких подпространств  $C_{\theta_0} \subset T_m M \otimes (T_m^* M \wedge T_m^* M)$ , что

$$T_m M \otimes (T_m^* M \wedge T_m^* M) = C_{\theta_0} \oplus \partial_{1,1}(g_{\theta_0} \otimes T_m^* M),$$

- 2  $(g_{\theta_0})^{(1)} = \{0\}$  для всех  $\theta_0 \in L_S^{(0)}$ .

Тогда:

- 1 на  $L_S^{(1)}$  определена инвариантная линейная связность  $\bullet$ ,
- 2  $\omega_S^1$  – тензор кручения этой связности.

- ① Уравнения адиабатического движения газа в  $\mathbb{R}^n$ ,  $n = 1, 2, 3$ 
  - Характеристические ковекторы
  - Геометрические структуры на решениях
  - Расслоение 3-тканей,  $n = 1$
  - Расслоение плоскостей и конусов,  $n = 2$
  - Расслоение плоскостей и конусов,  $n = 3$
- ② Дифференциальные инварианты естественных расслоений
  - Формальные симметрии и алгебры изотропии
  - Дифференциальные инварианты
- ③ Явные решения
  - 1-мерная газовая динамика
  - 2-мерная газовая динамика
  - 3-мерная газовая динамика
- ④ Литература

## 16. 1-мерная газовая динамика

$\mu$  – естественное расслоение 3-тканей на  $\mathbb{R}^2$ ,  $\theta_0 \in J^0\mu$ . Тогда

$$\mathfrak{g}_{\theta_0} = \left\{ \lambda \begin{pmatrix} 1 & 0 \\ 0 & 1 \end{pmatrix} \mid \lambda \in \mathbb{R} \right\}.$$
$$\mathfrak{g}_{\theta_0}^{(1)} = \{0\}.$$

Из комплекса Спенсера (6) следует

$$T_m M \otimes (T_m^* M \wedge T_m^* M) = \{0\} \oplus \partial_{1,1}(\mathfrak{g}_{\theta_0} \otimes T_m^* M).$$

**Следствие.** Пусть  $\Psi_S$  – 3-ткань на решении  $S = (v, \rho, p)$  системы (1). Тогда

- 1 Инвариант  $\omega_{\Psi_S}^1$  равен нулю.
- 2 На  $L_S^{(1)}$  определена линейная связность без кручения.

## 17. Тензор кривизны. Локально-плоские решения.

Исследование  $\mathcal{A}_{\theta_2}$  приводит к инварианту  $\omega_{\Psi_S}^2$ . В терминах решения  $S = (v, \rho, p)$

$$\omega_{\Psi}^2 = \left( (-\alpha\alpha_{tx} - u\alpha\alpha_{xx} + u_{xx}\alpha^2 + \alpha_t\alpha_x + u\alpha_x^2 - u_x\alpha\alpha_x)/\alpha^2 \right) (dt \wedge dx),$$

где  $\alpha = \sqrt{A(\rho, p)/\rho}$ .

Решения  $S = (v, \rho, p)$  с  $\omega_S^2 = 0$ . Случай  $A(\rho, p) = \rho$ .

$$u(t, x) = \frac{x + c_3}{t + c_1} - \frac{t + c_1}{2} - c_2,$$

$$\rho(t, x) = \frac{c_2}{t + c_1} \exp(h(t, x)),$$

$$p(t, x) = \frac{t + c_1 + c_2}{t + c_1} \exp(h(t, x)),$$

где

$$h(t, x) = \frac{c_2}{t + c_1} x + \frac{c_2}{2} t + c_2^2 \ln(t + c_1) + \frac{c_2 c_3}{t + c_1} + c_4,$$

$c_1, c_2, c_3, c_4$  – постоянные.

## 18. 2-мерная газовая динамика

Пусть  $S = (v^1, v^2, \rho, p)$  – решение системы (1),  $\Psi_S$  – геометрическая структура на  $S$  и  $\theta_0$  – точка из образа сечения  $\Psi_S$ .

$$\mathfrak{g}_{\theta_0} = \left\{ \begin{pmatrix} a & 0 & 0 \\ -v^2 b & a & b \\ v^1 b & -b & a \end{pmatrix} \mid a, b \in \mathbb{R} \right\}.$$

$$\mathfrak{g}_{\theta_0}^{(1)} = \{0\}.$$

$$0 \rightarrow 0 \rightarrow \mathfrak{g}_{\theta_0} \otimes T_m^* M \xrightarrow{\partial_{1,1}} T_m M \otimes (T_m^* M \wedge T_m^* M) \rightarrow 0,$$

$$T_m M \otimes (T_m^* M \wedge T_m^* M) = (T_m M \otimes (dx \wedge dy)) \oplus \partial_{1,1}(\mathfrak{g}_{\theta_0} \otimes T_m^* M).$$

$$\omega_{\Psi_S}^1 \in T_m M \otimes (dx \wedge dy).$$

## 19. Решения со связностями без кручения, $n = 2$

**Следствие.** Пусть  $S = (v^1, v^2, \rho, p)$  – решение системы (1). Тогда на  $L_S^{(1)}$  определена линейная связность и  $\omega_{\Psi_S}^1$  – ее тензор кручения.

$$\omega_{\Psi_S}^1 = \frac{1}{(v^1)^2 + (v^2)^2} \left( (v^1(v_y^1 + v_x^2) - v^2(v_x^1 - v_y^2)) \frac{\partial}{\partial x} - (v^2(v_y^1 + v_x^2) + v^1(v_x^1 - v_y^2)) \frac{\partial}{\partial y} \right) \otimes (dx \wedge dy).$$

Пусть  $S$  такое решение системы (1), что  $\omega_{\Psi_S}^1 = 0$ , тогда

$$v_x^1 = v_y^2, \quad v_y^1 = -v_x^2.$$

Т.е. скорость  $v = (v^1, v^2)$  – комплексно-аналитическая функция



20. Политропное движение газа постоянного объема,  $n = 2$ .  
Решения со связностями без кручения

Решения  $S = (v^1, v^2, \rho, p)$  системы (1) с  $\omega_{\Psi_S}^1 = 0$ . Пусть  $A(\rho, p) = \gamma p$ ,  $\gamma$  – постоянная и  $\rho = \text{Const}$ .

$$v^1(t, x, y) = k_{11}t + yc_{11} + k_{12},$$

$$v^2(t, x, y) = k_{21}t - xc_{11} + k_{22},$$

$$\rho = \text{Const},$$

$$p(t, x, y) = \rho \left( t^2(k_{11}^2 + k_{21}^2) - 2txc_{11}k_{21} + 2tyc_{11}k_{11} \right. \\ \left. + 2t(k_{11}k_{12} + k_{21}k_{22}) + x^2c_{11}^2 - 2x(c_{11}k_{22} + k_{11}) \right. \\ \left. + y^2c_{11}^2 + 2y(c_{11}k_{12} - k_{21}) + 2k_{33} \right) / 2,$$

где  $c_{ij}$  и  $k_{ij}$  – константы.

## 21. Политропное движение газа, $n = 2$ .

Решения со связностями без кручения

Решения  $S = (v^1, v^2, \rho, p)$  системы (1) с  $\omega_{\Psi_S}^1 = 0$ . Пусть  $A(\rho, p) = \gamma p$ ,  $\gamma$  – постоянная.

$$v^1 = \frac{x + k_3}{t + k_1} - \frac{e^{(1-2\gamma)k_2}}{3 - 2\gamma} (t + k_1)^{1-2\gamma} |t + k_1|,$$

$$v^2 = \frac{y + k_4}{t + k_1} - \frac{e^{(1-2\gamma)k_2}}{3 - 2\gamma} (t + k_1)^{1-2\gamma} |t + k_1|,$$

$$\rho = \frac{e^{-2k_2+k_5}}{(t + k_1)^2} \exp\left( e^{-k_2} \frac{x + y + k_3 + k_4}{|t + k_1|} + e^{-2\gamma k_2} \frac{2(t + k_1)^{2-2\gamma}}{(3 - 2\gamma)(2 - 2\gamma)} \right),$$

$$p = \frac{e^{-2\gamma k_2+k_5}}{(t + k_1)^{2\gamma}} \exp\left( e^{-k_2} \frac{x + y + k_3 + k_4}{|t + k_1|} + e^{-2\gamma k_2} \frac{2(t + k_1)^{2-2\gamma}}{(3 - 2\gamma)(2 - 2\gamma)} \right),$$

где  $k_1, \dots, k_5$  – произвольные константы,

## 22. Политропное движение газа, $n = 2$ .

Решения со связностями без кручения

$$v^1 = \frac{x + k_3}{t + k_1} - k_6 \frac{e^{(1-2\gamma)k_2}}{3 - 2\gamma} (t + k_1)^{1-2\gamma} |t + k_1|,$$

$$v^2 = \frac{y + k_4}{t + k_1} - k_6 \frac{e^{(1-2\gamma)k_2}}{3 - 2\gamma} (t + k_1)^{1-2\gamma} |t + k_1|,$$

$$\rho = \frac{e^{-2k_2}}{(t + k_1)^2} \left( e^{-k_2} \frac{x + y + k_3 + k_4}{|t + k_1|} + e^{-2\gamma k_2} \frac{2k_6(t + k_1)^{2-2\gamma}}{(3 - 2\gamma)(2 - 2\gamma)} + k_5 \right)^{k_6 - 1},$$

$$p = \frac{e^{-2\gamma k_2}}{(t + k_1)^{2\gamma}} \left( e^{-k_2} \frac{x + y + k_3 + k_4}{|t + k_1|} + e^{-2\gamma k_2} \frac{2k_6(t + k_1)^{2-2\gamma}}{(3 - 2\gamma)(2 - 2\gamma)} + k_5 \right)^{k_6},$$

где  $k_1, \dots, k_6$  – произвольные константы.

### 23. Политропное движение газа, $n = 2$ .

Решения со связностями без кручения

$$v^1 = \frac{t + k_1}{(t + k_1)^2 + k_2^2} x + \frac{k_2}{(t + k_1)^2 + k_2^2} y + c(t), \quad k_2 \neq 0,$$

$$v^2 = \frac{k_2}{(t + k_1)^2 + k_2^2} x + \frac{t + k_1}{(t + k_1)^2 - k_2^2} y + d(t),$$

$$\rho = \frac{e^{-2k_3 + k_4}}{(t + k_1)^2 + k_2^2} \exp(f),$$

$$p = \frac{e^{-2\gamma k_3 + k_4}}{((t + k_1)^2 + k_2^2)^\gamma} \exp(f),$$

$$f = \frac{e^{-k_3}}{((t + k_1)^2 + k_2^2)^{1/2}} (x(\cos \beta - \sin \beta) + y(\cos \beta + \sin \beta))$$

$$- \int \frac{e^{-k_3}}{((t + k_1)^2 + k_2^2)^{1/2}} (c(t)(\cos \beta - \sin \beta) + d(t)(\cos \beta + \sin \beta)) dt,$$

## 24. Политропное движение газа, $n = 2$ .

Решения со связностями без кручения

$$\beta = \operatorname{arctg}\left(\frac{t + k_1}{k_2}\right) + k_5,$$

$$c(t) = \left( (e^{(1-2\gamma)k_3} \Gamma_c + k_6) \cos \beta - (e^{(1-2\gamma)k_3} \Gamma_d + k_7) \sin \beta \right) \left( (t + k_1)^2 + k_2^2 \right)^{\frac{1}{2}},$$

$$d(t) = \left( (e^{(1-2\gamma)k_3} \Gamma_c + k_6) \sin \beta + (e^{(1-2\gamma)k_3} \Gamma_d + k_7) \cos \beta \right) \left( (t + k_1)^2 + k_2^2 \right)^{\frac{1}{2}},$$

$$\Gamma_c = \frac{1}{\delta^2 + 1} \int \frac{1}{\left( (t + k_1)^2 + k_2^2 \right)^{\gamma+1}} \left( (\delta^2 - 2\delta - 1)(t + k_1)^2 + 2k_1(-\delta^2 - 2\delta + 1)(t + k_1) + k_1^2(-\delta^2 + 2\delta + 1) \right) dt,$$

$$\Gamma_d = \frac{1}{\delta^2 + 1} \int \frac{1}{\left( (t + k_1)^2 + k_2^2 \right)^{\gamma+1}} \left( (\delta^2 + 2\delta - 1)(t + k_1)^2 + 2k_1(\delta^2 - 2\delta - 1)(t + k_1) + k_1^2(-\delta^2 - 2\delta + 1) \right) dt,$$

$\delta = \operatorname{tg}(k_5)$  и  $k_1, \dots, k_7$  — произвольные константы.

## 25. Политропное движение газа, $n = 2$ .

Решения со связностями без кручения

$$v^1 = \frac{t + k_1}{(t + k_1)^2 + k_2^2} x + \frac{k_2}{(t + k_1)^2 + k_2^2} y + k_4 c(t), \quad k_2 \neq 0,$$

$$v^2 = \frac{k_2}{(t + k_1)^2 + k_2^2} x + \frac{t + k_1}{(t + k_1)^2 - k_2^2} y + k_4 d(t),$$

$$\rho = \frac{e^{-2k_3}}{(t + k_1)^2 + k_2^2} (f)^{k_4 - 1},$$

$$p = \frac{e^{-2\gamma k_3 + k_4}}{((t + k_1)^2 + k_2^2)^\gamma} (f)^{k_4},$$

где  $k_1, \dots, k_4$  – произвольные константы, а функции  $c(t)$ ,  $d(t)$  и  $f$  вычисляются по тем же формулам, что и выше.

## 26. 3-мерная газовая динамика

Пусть  $S = (v^1, v^2, v^3, \rho, p)$  – решение системы (1),  $\Psi_S$  – геометрическая структура на  $S$  и  $\theta_0$  – точка из образа сечения  $\Psi_S$ .

$$\mathfrak{g}_{\theta_0} = \left\{ \begin{pmatrix} a & 0 & 0 & 0 \\ -bv^2 - cv^3 & a & b & c \\ bv^1 - dv^3 & -b & a & d \\ cv^1 + dv^2 & -c & -d & a \end{pmatrix} \mid a, b, c, d \in \mathbb{R} \right\}.$$

$$\mathfrak{g}_{\theta_0}^{(1)} = \{0\}.$$

$$0 \rightarrow 0 \rightarrow \mathfrak{g}_{\theta_0} \otimes T_m^* M \xrightarrow{\partial_{1,1}} T_m M \otimes (T_m^* M \wedge T_m^* M) \rightarrow 0,$$

## 27. Структурный дифференциальный инвариант на решении, $n=3$ .

**Следствие.** Пусть  $S$  – решение системы (1). Тогда  $\omega_{\Psi_S}^1$  – функция на  $L_S^{(1)}$  со значениями в когомологиях Спенсера.

$$\begin{aligned}\omega_{\Psi_S}^1 &= \frac{\partial}{\partial y} \otimes ((v_x^2 + v_y^1)dt \wedge dx + (v_y^2 - v_x^1)dt \wedge dy) \\ &+ \frac{\partial}{\partial z} \otimes ((v_x^3 + v_z^1)dt \wedge dx + (v_y^3 + v_z^2)dt \wedge dy + (v_z^3 - v_x^1)dt \wedge dz) \\ &+ \partial_{1,1}(\mathfrak{g}_{\theta_0} \otimes T_m^*M).\end{aligned}$$



## 28. Политропное движение газа постоянного объема, $n = 3$ .

### Явные решения

Решения  $S = (v^1, v^2, v^3, \rho, p)$  системы (1) с  $\omega_{\Psi_S}^1 = 0$ . Пусть  $A(\rho, p) = \gamma p$ ,  $\gamma$  – постоянная и  $\rho = \text{Const}$ .

$$v^1(t, x, y, z) = k_{11}t + yc_{11} + zc_{21} + k_{12},$$

$$v^2(t, x, y, z) = k_{21}t - xc_{11} + zc_{31} + k_{22},$$

$$v^3(t, x, y, z) = k_{31}t - xc_{21} - yc_{31} + k_{32},$$

$$\rho = \text{Const},$$

$$p(t, x, y, z) = \rho \left( x^2(c_{11}^2 + c_{21}^2) + 2xyc_{21}c_{31} - 2xzc_{11}c_{31} - 2x(c_{11}(k_{21}t + k_{22}) + c_{21}(k_{31}t + k_{32}) + k_{11}) + y^2(c_{11}^2 + c_{31}^2) + 2yzc_{11}c_{21} + 2y(c_{11}(k_{11}t + k_{12}) - c_{31}(k_{31}t - k_{32}) - k_{21}) + z^2(c_{21}^2 + c_{31}^2) + 2z(c_{21}(k_{11}t + k_{12}) + c_{31}(k_{21}t + k_{22}) - k_{31}) + k_{11}^2t^2 + 2k_{11}k_{12}t + k_{21}^2t^2 + 2k_{21}k_{22}t + k_{31}^2t^2 + 2k_{31}k_{32}t + 2k_{33} \right) / 2$$

где  $c_{ij}$  и  $k_{ij}$  – константы.

## 29. Политропное движение газа, $n = 3$ . Явные решения

Решения  $S = (v^1, v^2, v^3, \rho, p)$  системы (1) с  $\omega_{\Psi_S}^1 = 0$ . Пусть  $A(\rho, p) = \gamma p$ ,  $\gamma$  – постоянная.

$$v^1 = \frac{x + k_3}{t + k_1} - \frac{e^{(2-3\gamma)k_2}}{4 - 3\gamma} (t + k_1)^{2-3\gamma} |t + k_1|,$$

$$v^2 = \frac{y + k_4}{t + k_1} - \frac{e^{(2-3\gamma)k_2}}{4 - 3\gamma} (t + k_1)^{2-3\gamma} |t + k_1|,$$

$$v^3 = \frac{z + k_5}{t + k_1} - \frac{e^{(2-3\gamma)k_2}}{4 - 3\gamma} (t + k_1)^{2-3\gamma} |t + k_1|,$$

$$\rho = \frac{e^{-3k_2+k_6}}{|t + k_1|^3} \exp(f),$$

$$p = \frac{e^{-3k_2\gamma+k_6}}{|t + k_1|(t + k_1)^{3\gamma-1}} \exp(f),$$

где

$$f = e^{-k_2} \frac{x + y + z + k_3 + k_4 + k_5}{|t + k_1|} + e^{(1-3\gamma)k_2} \frac{3(t + k_1)^{3-3\gamma}}{(3 - 3\gamma)(4 - 3\gamma)},$$

а  $k_1, \dots, k_6$  – произвольные константы.

### 30. Политропное движение газа, $n = 3$ . Явные решения

$$v^1 = \frac{x + k_3}{t + k_1} - k_7 \frac{e^{(2-3\gamma)k_2}}{4 - 3\gamma} (t + k_1)^{2-3\gamma} |t + k_1|,$$

$$v^2 = \frac{y + k_4}{t + k_1} - k_7 \frac{e^{(2-3\gamma)k_2}}{4 - 3\gamma} (t + k_1)^{2-3\gamma} |t + k_1|,$$

$$v^3 = \frac{z + k_5}{t + k_1} - k_7 \frac{e^{(2-3\gamma)k_2}}{4 - 3\gamma} (t + k_1)^{2-3\gamma} |t + k_1|,$$

$$\rho = \frac{e^{-3k_2+k_6}}{|t + k_1|^3} f^{k_7-1},$$

$$p = \frac{e^{-3k_2\gamma+k_6}}{|t + k_1|(t + k_1)^{3\gamma-1}} f^{k_7},$$





где

$$f = e^{-k_2} \frac{x + y + z + k_3 + k_4 + k_5}{|t + k_1|} + e^{(1-3\gamma)k_2} \frac{3k_7(t + k_1)^{3-3\gamma}}{(3 - 3\gamma)(4 - 3\gamma)},$$

а  $k_1, \dots, k_7$  – произвольные константы.

- ① Уравнения адиабатического движения газа в  $\mathbb{R}^n$ ,  $n = 1, 2, 3$ 
  - Характеристические ковекторы
  - Геометрические структуры на решениях
  - Расслоение 3-тканей,  $n = 1$
  - Расслоение плоскостей и конусов,  $n = 2$
  - Расслоение плоскостей и конусов,  $n = 3$
  
- ② Дифференциальные инварианты естественных расслоений
  - Формальные симметрии и алгебры изотропии
  - Дифференциальные инварианты
  
- ③ Явные решения
  - 1-мерная газовая динамика
  - 2-мерная газовая динамика
  - 3-мерная газовая динамика
  
- ④ Литература

## 31. Литература

-  V. Lychagin, V. Yumaguzhin, *On geometric structures of 2-dimensional gas dynamics equations*, Lobachevskii Journal of Mathematics, 2009, Vol. 30, No. 4, pp. 327-332.
-  Л. В. Овсянников, *Лекции по основам газовой динамики*, Москва, «Наука», 1981, 368 с.
-  И.Г. Петровский, *Лекции об уравнениях с частными производными*, Москва, «Гос. изд-во тех.-теор. лит-ры», 1950, 303 с.
-  V. Yumaguzhin, *Differential invariants of 2-order ODEs, I*, Acta Applicandae Mathematicae, (2010), Vol. 109, No. 1, pp. 283-313.

$$\begin{aligned}n = 1 \quad v_t + vv_x + p_x/\rho &= 0, \\ \rho_t + v\rho_x + \rho v_x &= 0, \\ p_t + vp_x + A(\rho, p)v_x &= 0.\end{aligned}$$

$$\begin{aligned}n = 2 \quad v_t^1 + v^1v_{x^1}^1 + v^2v_{x^2}^1 + p_{x^1}/\rho &= 0, \\ v_t^2 + v^1v_{x^1}^2 + v^2v_{x^2}^2 + p_{x^2}/\rho &= 0, \\ \rho_t + v^1\rho_{x^1} + v^2\rho_{x^2} + \rho(v_{x^1}^1 + v_{x^2}^2) &= 0, \\ p_t + v^1p_{x^1} + v^2p_{x^2} + A(\rho, p)(v_{x^1}^1 + v_{x^2}^2) &= 0.\end{aligned}$$

$$\begin{aligned}n = 3 \quad v_t^1 + v^1v_{x^1}^1 + v^2v_{x^2}^1 + v^3v_{x^3}^1 + p_{x^1}/\rho &= 0, \\ v_t^2 + v^1v_{x^1}^2 + v^2v_{x^2}^2 + v^3v_{x^3}^2 + p_{x^2}/\rho &= 0, \\ v_t^3 + v^1v_{x^1}^3 + v^2v_{x^2}^3 + v^3v_{x^3}^3 + p_{x^3}/\rho &= 0, \\ \rho_t + v^1\rho_{x^1} + v^2\rho_{x^2} + v^3\rho_{x^3} + \rho(v_{x^1}^1 + v_{x^2}^2 + v_{x^3}^3) &= 0, \\ p_t + v^1p_{x^1} + v^2p_{x^2} + v^3p_{x^3} + A(\rho, p)(v_{x^1}^1 + v_{x^2}^2 + v_{x^3}^3) &= 0.\end{aligned}$$

## Естественные расслоения

$\pi : E \longrightarrow M$  - локально-тривиальное расслоение.

Расслоение  $\pi$  *естественное*, если выполнены условия:

- 1 Для каждого диффеоморфизма  $f : M \rightarrow M$  определен диффеоморфизм  $f^{(0)} : E \rightarrow E$  такой, что коммутативна диаграмма

$$\begin{array}{ccc} E & \xrightarrow{f^{(0)}} & E \\ \pi \downarrow & & \downarrow \pi \\ M & \xrightarrow{f} & M \end{array}$$

- 2  $(\text{id}_M)^{(0)} = \text{id}_E$ .
- 3  $(f \circ g)^{(0)} = f^{(0)} \circ g^{(0)}$ .

Эти условия определяют поднятие  $f^{(0)}$  однозначно.

Примерами естественных расслоений являются касательное, кокасательное расслоения, расслоение тензоров типа  $(r, s)$  и

## Линейные связности

$\rho : TM \longrightarrow M$  касательное расслоение над  $M$ .

$$\rho_{1,0} : J^1 TM \longrightarrow TM, \quad \rho_{1,0} : j_m^1 X \mapsto X_m.$$

Линейная связность на  $M$  - это сечение

$$\Gamma : TM \longrightarrow J^1 \rho, \quad \rho_{1,0} \circ \Gamma = \text{id}_{TM}$$

линейное на каждом слое  $T_m M$ .

Классическое определение линейной связности.

$$\tilde{\Gamma}_{j'm'}^{i'}(\tilde{x}) = \frac{\partial \tilde{x}^{i'}}{\partial x^i} \frac{\partial^2 x^i}{\partial \tilde{x}^{j'} \partial \tilde{x}^{m'}} + \frac{\partial \tilde{x}^{i'}}{\partial x^i} \Gamma_{jm}^i(x) \frac{\partial x^j}{\partial \tilde{x}^{j'}} \frac{\partial x^m}{\partial \tilde{x}^{m'}}.$$

Тензор кручения связности.

$$T_{jk}^i = \Gamma_{jk}^i - \Gamma_{kj}^i.$$

Тензор кривизны связности.

$$R_{jkl}^i = \frac{\partial \Gamma_{jl}^i}{\partial x^k} + \Gamma_{kr}^i \Gamma_{jl}^r - \frac{\partial \Gamma_{kl}^i}{\partial x^j} - \Gamma_{jr}^i \Gamma_{kl}^r.$$